

立命館大学理工学部 学生員 ○吉田 浩 立命館大学理工学部 正会員 大同淳之

1. はじめに 山地河川では、砂礫の粒径の2~3倍程度の水深で砂礫が流れる。砂礫が河床に接して動くとき、力学的相似を満たすためには、 $(gd/u_*^2)_r = (d/h)_r$ 、(r:原型と模型の比率)、また、流れの相似を満たすためには、 $(h/d)_r$ の相似を満たす必要がある。従来の流砂量式の係数は、 $h/d$ の大きいところで決められているので、 $h/d$ の小さいところで適用するのは問題があると考え、 $h/d$ の小さい領域で実験を行った。

## 2. 実験結果に対する考察

2. 1. 実験範囲 実験に用いた砂の粒径および水理条件の範囲を表1に示す。砂の移動を集団トレーサ法によって測定した。

2. 2. pickup rate および step length に表れる  $h/d$  の特性 流砂量の特性を表す物理量として pickup rate と step length がある。これらの比較を図1、図2として示すと次のようになる。

$d_m$ (cm)	$I$	$h/d$
1.78	0.01	2.5~3.42
1.27	0.02	0.12~3.80

$$\sigma/\rho = 2.65$$

表1. 実験範囲

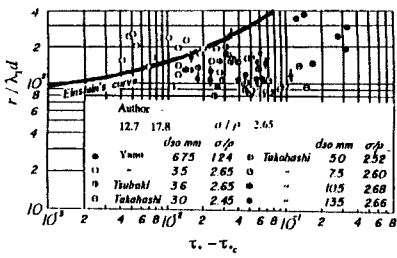


図1. step length の比較

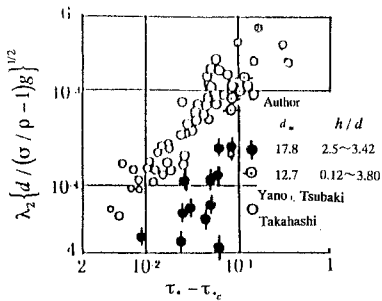
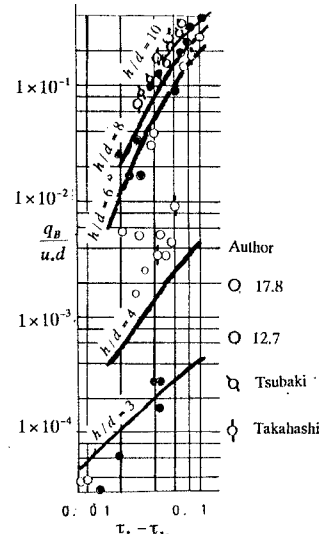


図2. pickup rate の比較

図1、図2から、step length は  $h/d$  の大きい領域と変わらず、100d 程度とみなされるが、pickup rate

は  $h/d$  が小さいときは、 $h/d$  が大きいときよりも減少していることが分かる。その結果として、流砂量は図3に示すように  $h/d > 10$  では、 $h/d$  による変化はないが、 $h/d < 10$  では、 $(\tau_s - \tau_{c*})$  が同じでも  $h/d$  が小さくなるに従って少なくなることを示した。

pickup rate の減少は、砂礫に作用する流速の減少であろう。また、step length にも流速が関係し、流速の低下は step length を短くするが、勾配の増加はそれを長くする効果があるので、結果的にあまり変わらない結果を示しているといえる。

図3.  $h/d$  による流砂量の変化

## 3. 相対水深の大小による砂礫に作用する流速の変化

3. 1. 相対水深が小さく、勾配が急な流れの砂に作用する流速 粗面上で  $h/d$  が小さい領域で測定した流速分布、平均流速分布を図4、図5に示す。

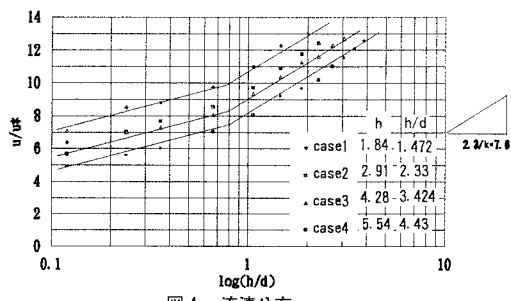


図4. 流速分布

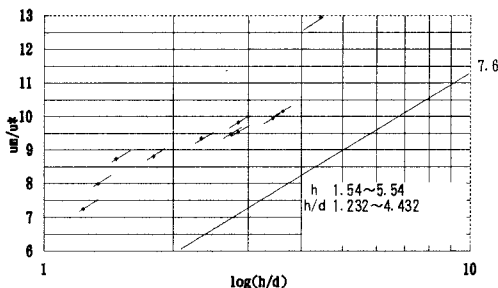


図5. 平均流速分布

図4と図5を比較して、 $\kappa$ の値が違うのは、 $h/d$ の小さいときは粗度が同じであっても、 $A_r$ の値が変わっているからである。

実験結果から、粗度の大きい流れの流速分布は図6のような層からなると考えられる。

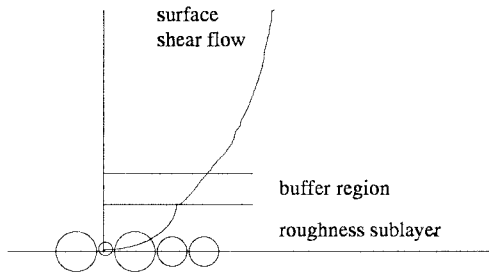


図6. 粗度の大きい流れの流速分布

roughness sublayerでは、速度勾配が緩いために流速が一様化している。一方、その上層は $\kappa = 0.4$ の層ができ、その両方を結ぶbuffer regionが生じる。

我々が測定したケースでは、 $h/d$ が小さいので、surface shear flowの層がほとんどなく、buffer regionとroughness sublayerを測定していると思われる。 $h/d$ の大きいときに $A_r$ の変化を問題に必要がなかったのは、surface shear flowが強いときはbuffer regionが薄くなり、砂礫に作用する流速を表現するときに、図3をもとに $A_r$ 、 $k_s$ を決めるることは1つのケースごとについて難しい。 $A_r$ は、流速分布の境界条件で経験的に定めている。砂に作用する任意の高さの流速を決めるため、そこで流れの中の流速分布を考察し、導いた流速分布から境界条件を決め直すことにする。

### 3. 2. roughness sublayerにおける流速分布

roughness sublayerにおいて、粗度によって生じる剥離から噴出が生じるといわれる。この現象を次のようにモデル化する。

1つの突起があるとき、その突起の周りを回る流れによって $z$ における流れに平行な単位面を上下に通過する流れが生じる。この流れによるせん断力を次のようにモデル化すると、

$$\tau \propto \rho \beta u (du / dz) \quad (1)$$

である。これに乱れによるせん断力を加えて、

$$\tau = \rho l^2 (du / dz)^2 + \rho \beta u (du / dz) \quad (2)$$

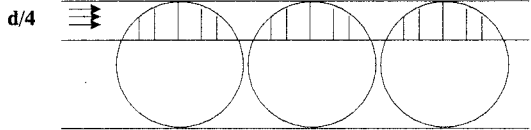


図7. 砂礫の上部に作用する流速

とする。実験では、粗度は $1.71\text{cm}^2$ に1個で、平均粒径 $12.7\text{mm}$ の砂礫を置き、上部から $(1/4)d$ に相当する面が水に当たっているとして、 $\beta$ を決め、(2)を計算した結果、

$$\begin{aligned} u / u_* &= (1/\kappa) \ln \left[ z / k_s \left( 1 + \sqrt{1 + F_s / [\kappa(z/k_s)]} \right) + F_s / 2\kappa \right] \\ &\quad + 2F_s / \left\{ \kappa^2 (z/k_s) \left( 1 + F_s / \kappa(z/k_s) \right) \right\} \\ &\quad + \left( \sqrt{2}/2 \right) \sqrt{F_s / \kappa^3} \left( 1 / \sqrt{z/k_s} \right) \\ &\quad + 1/\kappa \ln \kappa + C_2 \end{aligned} \quad (3)$$

のようになる。ただし、 $F_s = \beta / 2\kappa k_s$ で砂礫の作用を表す。このとき、図3の結果が図8のようになる。全部の実験を通じて、かつ buffer region、roughness sublayerを通じて一定の $\kappa$ で説明できることを示した。この結果から、任意の高さの流速を求めることができ、これを使って流砂量を $\tau_*$ と $h/d$ の関数として表すことができると思われる。

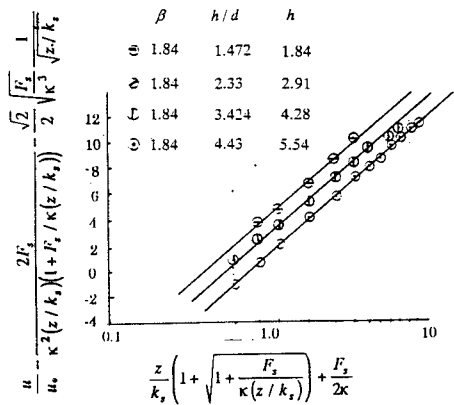


図8. 粒子による応力増加を考慮したときの流速分布

### 4. むすび

1)  $h/d$ が小さいときはpickup rateが小さくなり、結果として流砂量は $(\tau_* - \tau_{*c})$ が同じでも $h/d$ の値をパラメーターとして少なくなる。

2) pickup rateが小さくなる原因是対数則表示より流速が小さくなる。

3) roughness sublayerには粗度要素をめぐる流れがあり、それによるせん断力をモデル化して流速分布を求め、その結果は roughness sublayer、buffer regionを通じて同じ $\kappa$ で表されることを見いだした。